

**EXAMEN DE ELECTRONICA DE POTENCIA**  
**29 de julio de 2015**

---

**PROBLEMA 1**

Sea un rectificador trifásico seis pulsos conectado a una red trifásica de tensión  $U_1$ , frecuencia  $f_1$  e inductancia de cortocircuito  $L_1$ . Los tiristores del puente necesitan al menos una tensión  $V_{min}$  para que el disparo sea efectivo.

En los bornes de continua del rectificador de tensión media  $U_d$  se conecta un inversor monofásico compuesto por cuatro mosfets cuya salida de alterna está conectada a una red de alterna de tensión  $U_2$  y frecuencia  $f_2$  a través de una inductancia  $L_2$ . Se supondrá que se tiene en el bus de continua un filtro LC ideal que garantiza corriente y tensión lisa en bornes del inversor. Sea  $U_d$  el valor medio de la tensión en bornes del inversor.

El control del inversor es tal que el fundamental de tensión de frecuencia  $f_2$  tiene una tensión de pico de  $0.9 \times U_d$  y se adelanta un ángulo delta respecto a la tensión  $U_2$ .

El objetivo del circuito es transferir el máximo de potencia activa entre ambas redes de alterna.

- a) Dibujar el circuito completo. **(10 puntos)**
- b) Calcular la potencia máxima transferible en las condiciones reseñadas. Se indicará el ángulo de disparo, el ángulo de conmutación, la corriente de continua y la tensión  $U_d$ . **(45 puntos)**
- c) Determinar el ángulo delta en las condiciones calculadas en 1.- Para esta parte se pide dibujar el diagrama fasorial que permita visualizar los fundamentales de tensión de red y la tensión y corriente de salida del inversor. **(45 puntos)**

Datos:

$V_{min} = 2.5 \text{ kV}$ ,  $U_1 = 20 \text{ kV}$ ,  $f_1 = 50 \text{ Hz}$ ,  $L_1 = 15 \text{ mH}$   
 $U_2 = 8 \text{ kV}$ ,  $f_2 = 60 \text{ Hz}$ ,  $L_2 = 2.5 \text{ mH}$ .

**EXAMEN DE ELECTRONICA DE POTENCIA**  
**29 de julio de 2015**

---

**PROBLEMA 2**

Un convertidor flyback aislado debe alimentar una carga en 24 Vcc a partir de una batería cuya tensión puede variar entre 80 Vcc (batería muy descargada) y 170 Vcc (batería en carga de homogeneización). Para construirlo se dispone de un mosfet IRFP4137PbF del cual se adjuntan 3 páginas de su hoja de datos, un diodo cuya corriente de pico no puede superar 60 A, un núcleo de transformador con inductancia específica  $A_L = 21 \text{ nH/vuelta}^2$  y un condensador de salida de 47000  $\mu\text{F}$ , ESR=5 m $\Omega$ . La corriente de pico sobre el mosfet se limita a 20 A. Opera en modo de conducción discontinua. La frecuencia del control PWM es de 100 kHz.

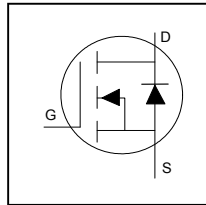
Se trata de que el convertidor suministre una potencia nominal de salida  $P_n$  que sea la máxima posible para todo el rango de tensión de entrada.

- a) Calcular el ciclo de trabajo máximo. **(20 puntos)**
- b) Calcular la potencia  $P_n$  del convertidor. **(10 puntos)**
- c) Determinar el número de vueltas del primario y del secundario. **(20 puntos)**
- d) Calcular la máxima tensión sobre la llave. **(10 puntos)**
- e) Calcular el rizado pico a pico de la tensión de salida a potencia nominal. **(20 puntos)**
- f) Calcular la resistencia térmica del disipador del mosfet para que el convertidor pueda dar potencia máxima con una temperatura ambiente de 50°C. **(20 puntos)**

Para las partes a) a e) considerar que la llave es ideal. Para la parte f utilizar los resultados del caso ideal.

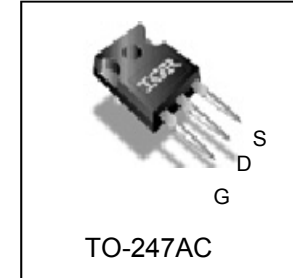
### Application

- High Efficiency Synchronous Rectification in SMPS
- Uninterruptible Power Supply
- High Speed Power Switching
- Hard Switched and High Frequency Circuits



HEXFET® Power MOSFET

$V_{DSS}$	300V
$R_{DS(on)}$ typ. max	56mΩ 69mΩ
$I_D$	38A



G	D	S
Gate	Drain	Source

Base part number	Package Type	Standard Pack		Orderable Part Number
		Form	Quantity	
IRFP4137PbF	TO-247AC	Tube	25	IRFP4137PbF

	Parameter	Max.	Units
$I_D @ T_C = 25^\circ C$	Continuous Drain Current, $V_{GS} @ 10V$	38	A
$I_D @ T_C = 100^\circ C$	Continuous Drain Current, $V_{GS} @ 10V$	27	
$I_{DM}$	Pulsed Drain Current ①	152	$^\circ C$
$P_D @ T_C = 25^\circ C$	Maximum Power Dissipation	341	
	Linear Derating Factor	2.3	W/ $^\circ C$
$V_{GS}$	Gate-to-Source Voltage	$\pm 20$	V
$dv/dt$	Peak Diode Recovery $dv/dt$ ③	8.9	V/ns
$T_J$ $T_{STG}$	Operating Junction and Storage Temperature Range	-55 to + 175	$^\circ C$
	Soldering Temperature, for 10 seconds (1.6mm from case)	300	
	Mounting Torque, 6-32 or M3 Screw	10 lbf·in (1.1 N·m)	

### Avalanche Characteristics

$E_{AS}$ (Thermally limited)	Single Pulse Avalanche Energy ②	541	mJ
------------------------------	---------------------------------	-----	----

### Thermal Resistance

	Parameter	Typ.	Max.	Units
$R_{\theta JC}$	Junction-to-Case ④	—	0.44	$^\circ C/W$
$R_{\theta CS}$	Case-to-Sink, Flat Greased Surface	0.24	—	
$R_{\theta JA}$	Junction-to-Ambient ⑦⑧	—	40	

**Static @  $T_J = 25^\circ\text{C}$  (unless otherwise specified)**

	Parameter	Min.	Typ.	Max.	Units	Conditions
$V_{(\text{BR})\text{DSS}}$	Drain-to-Source Breakdown Voltage	300	—	—	V	$V_{GS} = 0V, I_D = 250\mu\text{A}$
$\Delta V_{(\text{BR})\text{DSS}/\Delta T_J}$	Breakdown Voltage Temp. Coefficient	—	0.24	—	V/ $^\circ\text{C}$	Reference to $25^\circ\text{C}, I_D = 3.5\text{mA}$
$R_{DS(\text{on})}$	Static Drain-to-Source On-Resistance	—	56	69	$\text{m}\Omega$	$V_{GS} = 10V, I_D = 24\text{A}$ ④
$V_{GS(\text{th})}$	Gate Threshold Voltage	3.0	—	5.0	V	$V_{DS} = V_{GS}, I_D = 250\mu\text{A}$
$I_{\text{DSS}}$	Drain-to-Source Leakage Current	—	—	20	$\mu\text{A}$	$V_{DS} = 300 \text{ V}, V_{GS} = 0\text{V}$
		—	—	250		$V_{DS} = 300\text{V}, V_{GS} = 0\text{V}, T_J = 125^\circ\text{C}$
$I_{GSS}$	Gate-to-Source Forward Leakage	—	—	100	$\text{nA}$	$V_{GS} = 20\text{V}$
	Gate-to-Source Reverse Leakage	—	—	-100		$V_{GS} = -20\text{V}$
$R_G$	Gate Resistance	—	1.3	—	$\Omega$	

**Dynamic Electrical Characteristics @  $T_J = 25^\circ\text{C}$  (unless otherwise specified)**

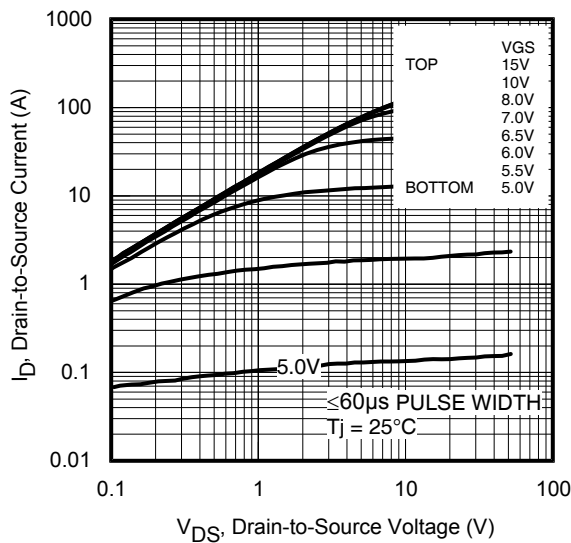
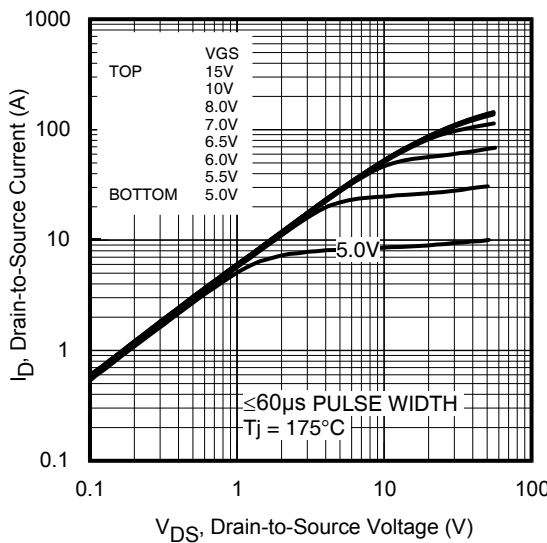
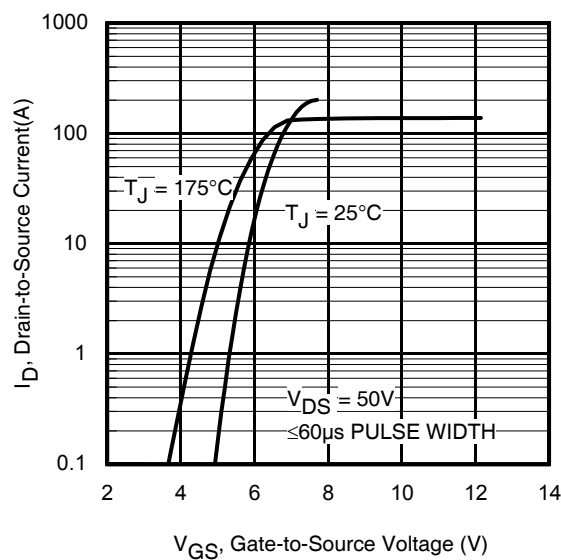
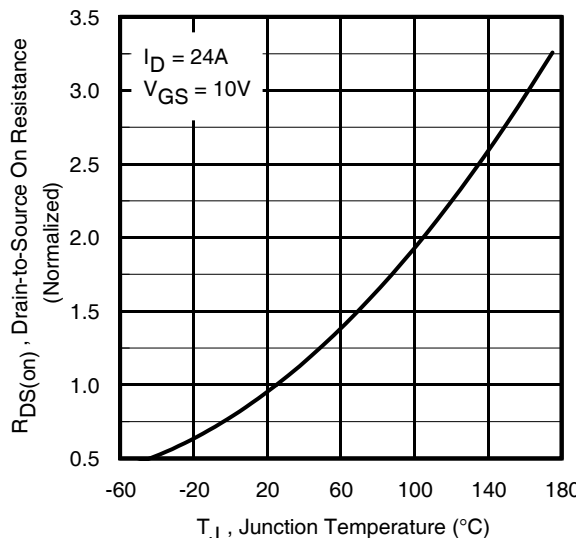
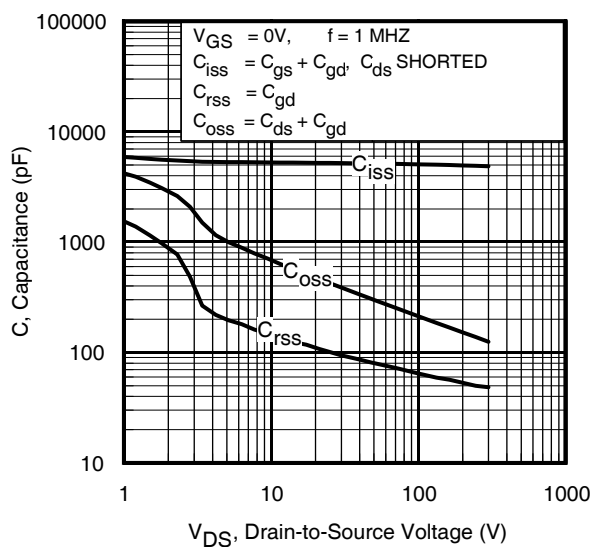
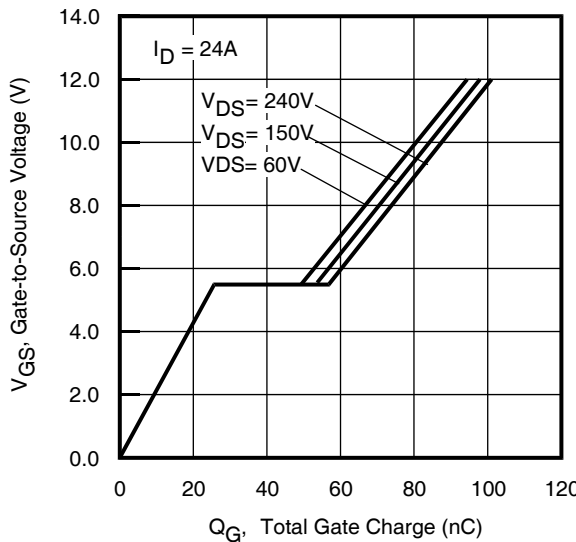
$g_{fs}$	Forward Transconductance	45	—	—	S	$V_{DS} = 50\text{V}, I_D = 24\text{A}$
$Q_g$	Total Gate Charge	—	83	125	nC	$I_D = 24\text{A}$
$Q_{gs}$	Gate-to-Source Charge	—	28	42		$V_{DS} = 150\text{V}$
$Q_{gd}$	Gate-to-Drain Charge	—	26	39		$V_{GS} = 10\text{V}$
$t_{d(on)}$	Turn-On Delay Time	—	18	—	ns	$V_{DD} = 195\text{V}$
$t_r$	Rise Time	—	23	—		$I_D = 24\text{A}$
$t_{d(off)}$	Turn-Off Delay Time	—	34	—		$R_G = 2.2\Omega$
$t_f$	Fall Time	—	20	—		$V_{GS} = 10\text{V}$
$C_{iss}$	Input Capacitance	—	5168	—	pF	$V_{GS} = 0\text{V}$
$C_{oss}$	Output Capacitance	—	300	—		$V_{DS} = 50\text{V}$
$C_{rss}$	Reverse Transfer Capacitance	—	77	—		$f = 1.0\text{MHz}$
$C_{oss \text{ eff. (ER)}}$	Effective Output Capacitance (Energy Related)	—	196	—		$V_{GS} = 0\text{V}, V_{DS} = 0\text{V} \text{ to } 240\text{V}$ ⑥ See Fig.11
$C_{oss \text{ eff. (TR)}}$	Output Capacitance (Time Related)	—	265	—		$V_{GS} = 0\text{V}, V_{DS} = 0\text{V} \text{ to } 240\text{V}$ ⑤

**Diode Characteristics**

	Parameter	Min.	Typ.	Max.	Units	Conditions
$I_s$	Continuous Source Current (Body Diode) ①	—	—	40	A	MOSFET symbol showing the integral reverse p-n junction diode.
$I_{sM}$	Pulsed Source Current (Body Diode) ①	—	—	160		
$V_{SD}$	Diode Forward Voltage	—	—	1.3	V	$T_J = 25^\circ\text{C}, I_S = 24\text{A}, V_{GS} = 0\text{V}$ ④
$t_{rr}$	Reverse Recovery Time	—	302	—		$T_J = 25^\circ\text{C} \quad V_{DD} = 255\text{V}$
		—	379	—	ns	$T_J = 125^\circ\text{C} \quad I_F = 24\text{A},$
$Q_{rr}$	Reverse Recovery Charge	—	1739	—	nC	$T_J = 25^\circ\text{C} \quad \text{di/dt} = 100\text{A}/\mu\text{s}$ ④
		—	2497	—		$T_J = 125^\circ\text{C}$
$I_{RRM}$	Reverse Recovery Current	—	13	—	A	$T_J = 25^\circ\text{C}$

**Notes:**

- ① Repetitive rating; pulse width limited by max. junction temperature.
- ② Recommended max EAS limit, starting  $T_J = 25^\circ\text{C}$ ,  $L = 2.05\text{mH}$ ,  $R_G = 50\Omega$ ,  $I_{AS} = 24\text{A}$ ,  $V_{GS} = 10\text{V}$ .
- ③  $I_{SD} \leq 24\text{A}$ ,  $\text{di/dt} \leq 1771\text{A}/\mu\text{s}$ ,  $V_{DD} \leq V_{(\text{BR})\text{DSS}}$ ,  $T_J \leq 175^\circ\text{C}$ .
- ④ Pulse width  $\leq 400\mu\text{s}$ ; duty cycle  $\leq 2\%$ .
- ⑤  $C_{oss \text{ eff. (TR)}}$  is a fixed capacitance that gives the same charging time as  $C_{oss}$  while  $V_{DS}$  is rising from 0 to 80%  $V_{DSS}$ .
- ⑥  $C_{oss \text{ eff. (ER)}}$  is a fixed capacitance that gives the same energy as  $C_{oss}$  while  $V_{DS}$  is rising from 0 to 80%  $V_{DSS}$ .
- ⑦ When mounted on 1" square PCB (FR-4 or G-10 Material). For recommended footprint and soldering techniques refer to application note #AN-994
- ⑧  $R_\theta$  is measured at  $T_J$  approximately  $90^\circ\text{C}$

**Fig 1.** Typical Output Characteristics**Fig 2.** Typical Output Characteristics**Fig 3.** Typical Transfer Characteristics**Fig 4.** Normalized On-Resistance vs. Temperature**Fig 5.** Typical Capacitance vs. Drain-to-Source Voltage**Fig 6.** Typical Gate Charge vs. Gate-to-Source Voltage